

**Московский государственный технический университет им.Н.Э.Баумана  
кафедра "Системы обработки информации и управления"**



## **"Методы машинного обучения"**

**к Домашнее задание №1**

**«Методы машинного обучения»**

**Инструктор : Юрий Гапанюк**

**Email:2623859464@qq.com**

**Студент: Ван Чаочао**

**группа ИУ5И-22М**

**2022/06/10**

# Домашнее задание

## по дисциплине «Методы машинного обучения»

Домашнее задание по дисциплине направлено на анализ современных методов машинного обучения и их применение для решения практических задач. Домашнее задание включает три основных этапа:

1. выбор задачи;
2. теоретический этап;
3. практический этап.

Этап выбора задачи предполагает анализ ресурса [paperswithcode](https://paperswithcode.com/). Данный ресурс включает описание нескольких тысяч современных задач в области машинного обучения. Каждое описание задачи содержит ссылки на наиболее современные и актуальные научные статьи, предназначенные для решения задачи (список статей регулярно обновляется авторами ресурса). Каждое описание статьи содержит ссылку на репозиторий с открытым исходным кодом, реализующим представленные в статье эксперименты. На этапе выбора задачи обучающийся выбирает одну из задач машинного обучения, описание которой содержит ссылки на статьи и репозитории с исходным кодом.

Теоретический этап включает проработку как минимум двух статей, относящихся к выбранной задаче. Результаты проработки обучающийся излагает в теоретической части отчета по домашнему заданию, которая может включать:

- описание общих подходов к решению задачи;
- конкретные топологии нейронных сетей, нейросетевых ансамблей или других моделей машинного обучения, предназначенных для решения задачи;
- математическое описание, алгоритмы функционирования, особенности обучения используемых для решения задачи нейронных сетей, нейросетевых ансамблей или других моделей машинного обучения;
- описание наборов данных, используемых для обучения моделей;
- оценка качества решения задачи, описание метрик качества и их значений;
- предложения обучающегося по улучшению качества решения задачи.

Практический этап включает повторение экспериментов авторов статей на основе представленных авторами репозиториях с исходным кодом и возможное улучшение обучающимися полученных результатов. Результаты проработки обучающийся излагает в практической части отчета по домашнему заданию, которая может включать:

- исходные коды программ, представленные авторами статей, результаты документирования программ обучающимися с использованием диаграмм UML, путем визуализации топологий нейронных сетей и другими способами;
- результаты выполнения программ, вычисление значений для описанных в статьях метрик качества, выводы обучающегося о воспроизводимости экспериментов авторов статей и соответствии практических экспериментов теоретическим материалам статей;
- предложения обучающегося по возможным улучшениям решения задачи, результаты практических экспериментов (исходные коды, документация) по возможному улучшению решения задачи.

## Выбор задачи

Я ссылаюсь на две статьи следующим образом: «Deep Residual Learning for Image Recognition» и «Learning Interpretable Anatomical Features Through Deep Generative Models: Application to Cardiac Remodeling» ,

Ссылка на статью:

<https://paperswithcode.com/paper/deep-residual-learning-for-image-recognition>

<https://arxiv.org/pdf/1807.06843v1.pdf>

и проанализируйте его на основе того, что я узнал,

Рекуррентные нейронные сети более склонны к задачам последовательности, распознаванию речи, обработке естественного языка и т. д., в то время как сверточные нейронные сети более склонны к приложениям для распознавания изображений. По сравнению с GoogLeNet и VGG, VGG является более общим и может быть напрямую трансплантирован. сетевые уровни очень близки к более чем 20 уровням, и частота ошибок также очень близка. RESNET, изобретенный Microsoft Research под руководством Хэ Кайминга, имеет поразительные 152 сетевых слоя и поразительную частоту ошибок 3,57.

### Трудности с традиционным «глубоким обучением»

Текущий прогресс глубокого обучения зависит от методов: выбора начального веса, локального рецептивного поля, распределения веса и т. д., но при использовании более глубоких сетей (например, > 100) он по-прежнему сталкивается с традиционными трудностями, такими как исчезновение градиента при обратном распространении,

Проблема деградации: чем больше слоев, тем **выше** частота ошибок обучения и частота ошибок теста.

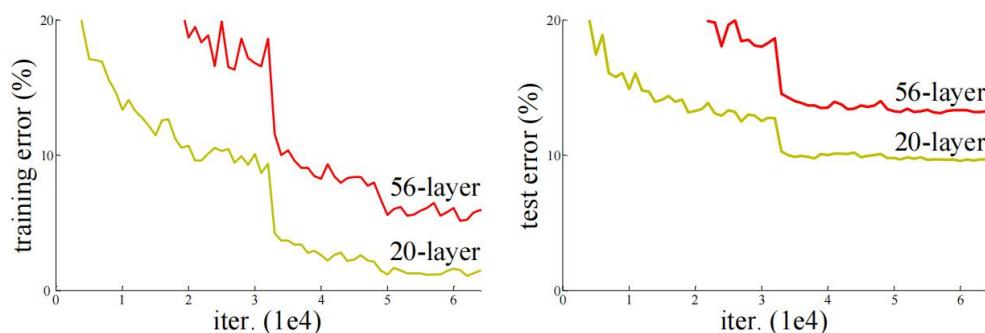


Figure 1. Training error (left) and test error (right) on CIFAR-10 with 20-layer and 56-layer “plain” networks. The deeper network has higher training error, and thus test error. Similar phenomena on ImageNet is presented in Fig. 4.

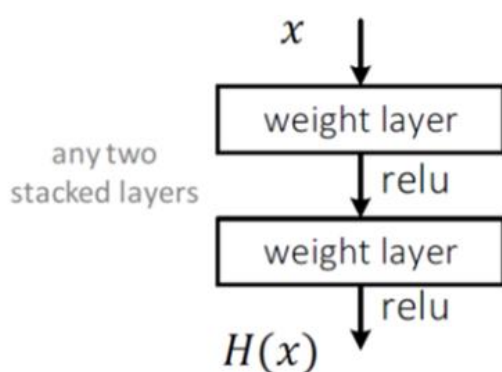
Как решить вышеуказанную проблему?

## Теоретический этап

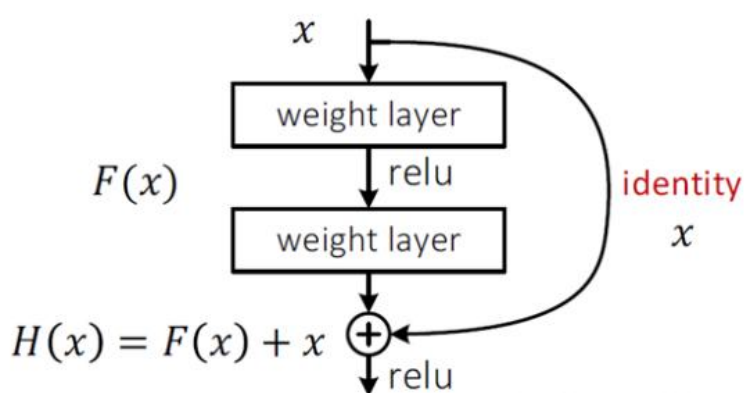
Идея глубокой остаточной сети

Введение «ярлыков» может предотвратить проблему исчезновения градиента. На самом деле, до выхода ResNet некоторые люди уже изучали этот аспект. «Дорожная сеть» и «обучение очень глубокой сети» Шриваставы и др. похожи. методы. Они считают, что более глубокая сеть также должна быть легко оптимизируемой. Чем больше слоев, тем выше точность, а метод обучения не сильно изменится по сравнению с «традиционной» глубокой сетью. Основываясь на этом, команда Хэ Кайминга предложила новую глубокую остаточную сеть, следующая Давайте сначала рассмотрим основные части сети:

### • Plain net

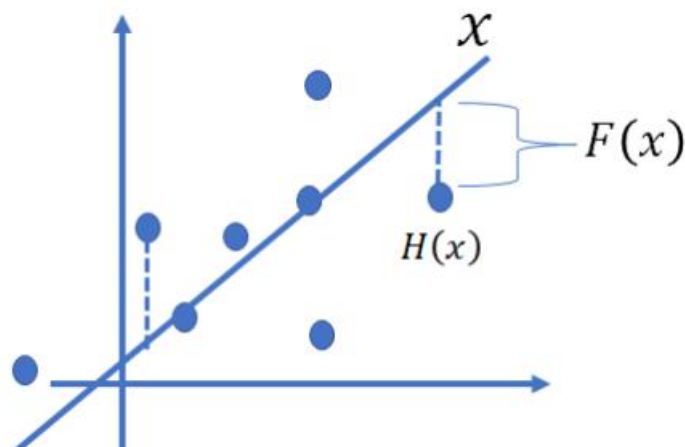


### • Residual net



Функция активации слева принимает функцию RELU, чтобы избежать проблемы исчезновения градиента. Правая половина является базовой единицей остаточной сети. Ввод  $x$  в начале накладывается в соответствии с обычной нейронной сетью, а затем проходит через функцию активации. После наложения весов входной сигнал и выходной сигнал в это время накладываются друг на друга, а затем проходят через функцию активации. А в остатке есть еще один способ.

Остаток в линейной подгонке относится к разнице между точками данных и значением функции подобранной прямой линии, тогда мы можем провести здесь аналогию, где  $x$  — функция нашей подгонки, а  $H(x)$  — конкретная точка данных, затем я добавляю подобранное значение  $F(x)$  посредством обучения, чтобы получить значение конкретной точки данных, так что это  $F(x)$  является остатком, как показано ниже:



**Общая сеть показана на рисунке:**

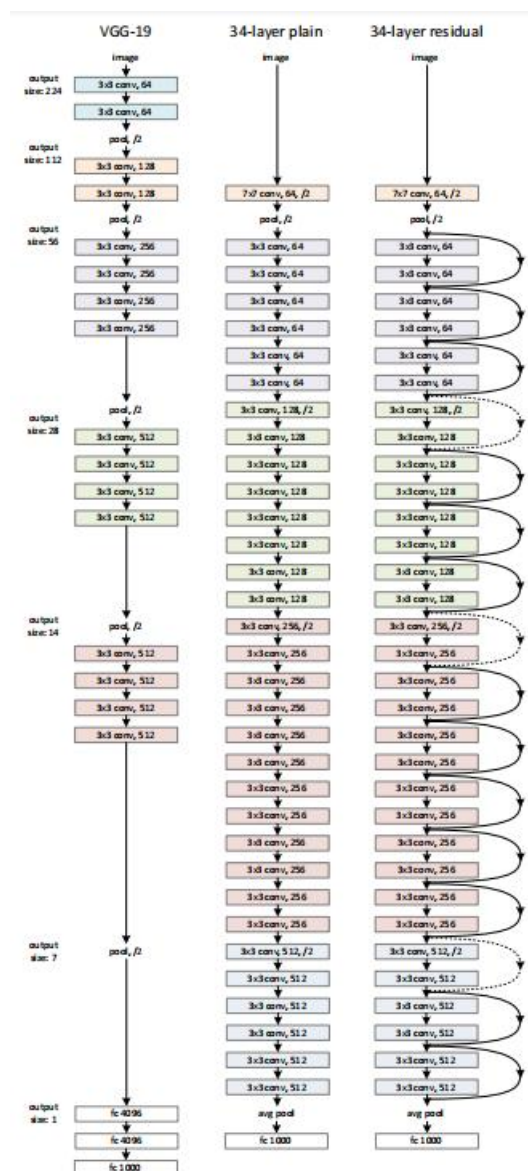
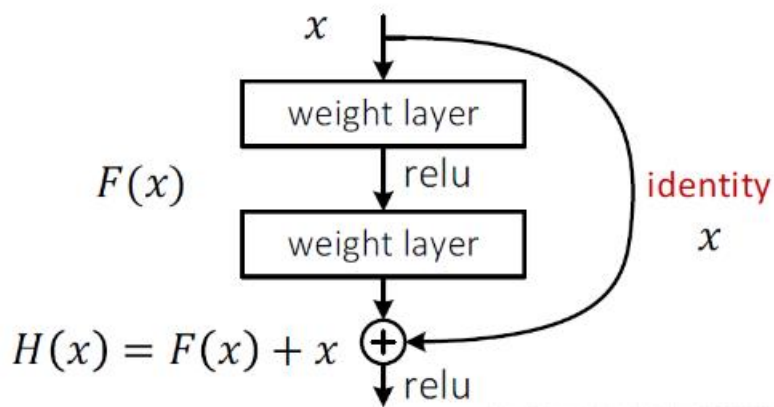


Figure 3. Example network architectures for ImageNet. **Left:** the VGG-19 model [41] (19.6 billion FLOPs) as a reference. **Middle:** a plain network with 34 parameter layers (3.6 billion FLOPs). **Right:** a residual network with 34 parameter layers (3.6 billion FLOPs). The dotted shortcuts increase dimensions. **Table 1** shows more details and other variants.

Через приведенную выше сеть вы можете увидеть сравнение между сетью и VGG. Принцип обучения VGG-19 в основном такой же, как и у обычной сверточной нейронной сети. Разница в том, что размер его ядра свертки составляет все  $3 \times 3$ , размер слоя пула  $2 \times 2$ , такую модель легко трансплантировать и применять, в то время как Resnet состоит из множества слоев высокоскоростных каналов, а Resnet состоит из множества слоев высокоскоростных каналов, начиная с перспектива извлечения признаков. Объясните, если первый слой должен извлекать глобальные признаки, то есть мелкие признаки, а глубокие слои извлекают глубокие признаки. Можем ли мы сказать, что при выводе каждого слоя он объединяет глубокие и мелкие признаки, чтобы судить, так что градиент не исчезает легко.

## Математический анализ:

### • Residual net



Эта сеть похожа на метод обучения свертки. Шосс не влияет на обратное распространение ошибки. Давайте объясним с помощью математики:

$$\mathbf{y} = \mathcal{F}(\mathbf{x}, \{W_i\}) + W_s \mathbf{x}.$$

Разумно было бы сказать, что весовая матрица есть, но исходная бумага прямо равна 1,

$$\mathbf{y}_l = h(\mathbf{x}_l) + \mathcal{F}(\mathbf{x}_l, W_l), \quad (1)$$

$$\mathbf{x}_{l+1} = f(\mathbf{y}_l). \quad (2)$$

Здесь отображаются английские правила RELU, используемые  $f()$ , поэтому их можно получить напрямую:

$$\mathbf{x}_{l+1} = \mathbf{x}_l + \mathcal{F}(\mathbf{x}_l, W_l). \quad (3)$$

Повторяя:

$$\mathbf{x}_{l+2} = \mathbf{x}_{l+1} + \mathcal{F}(\mathbf{x}_{l+1}, W_{l+1}) = \mathbf{x}_l + \mathcal{F}(\mathbf{x}_l, W_l) + \mathcal{F}(\mathbf{x}_{l+1}, W_{l+1});$$

В соответствии с принципом обратного распространения мы предполагаем  $\mathcal{E}$ , что ошибка равна ее частной производной от  $\mathbf{x}_l$ :

$$\frac{\partial \mathcal{E}}{\partial \mathbf{x}_l} = \frac{\partial \mathcal{E}}{\partial \mathbf{x}_L} \frac{\partial \mathbf{x}_L}{\partial \mathbf{x}_l} = \frac{\partial \mathcal{E}}{\partial \mathbf{x}_L} \left( 1 + \frac{\partial}{\partial \mathbf{x}_l} \sum_{i=l}^{L-1} \mathcal{F}(\mathbf{x}_i, W_i) \right). \quad (5)$$

Приведенная выше формула дает обратное распространение функции ошибок, если

$$h(\mathbf{x}_l) = \lambda_l \mathbf{x}_l.$$



на данный момент:

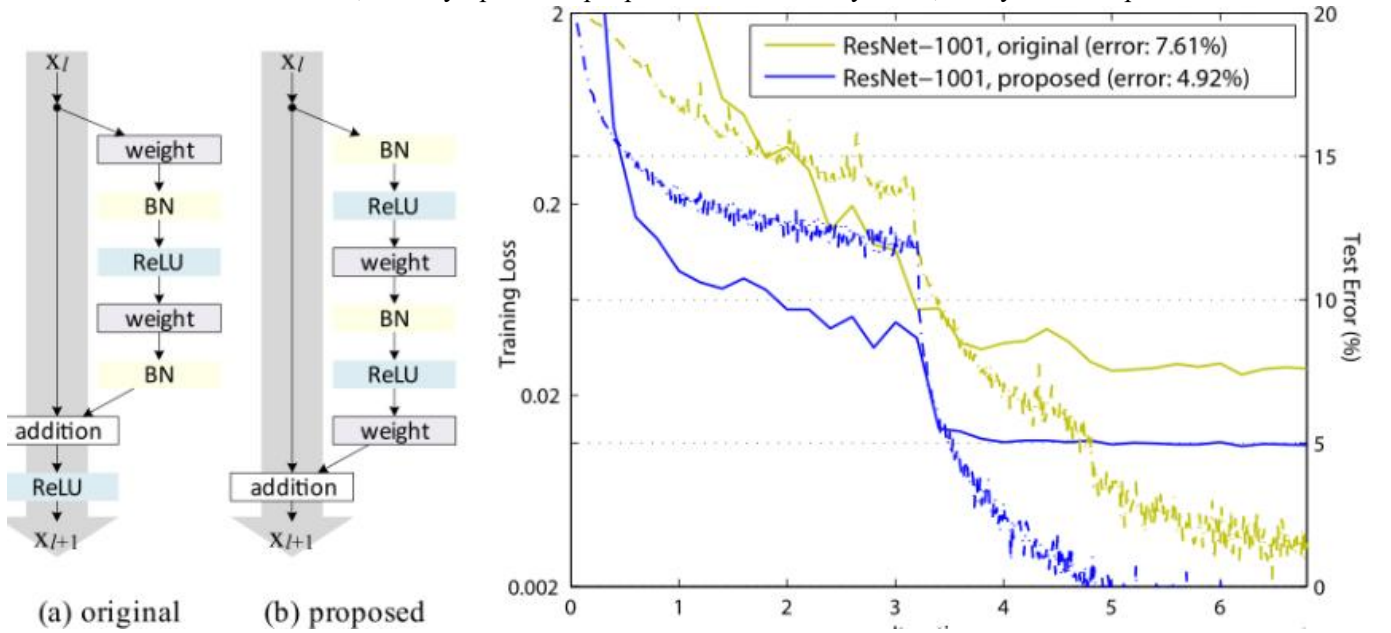
$$\mathbf{x}_{l+1} = \lambda_l \mathbf{x}_l + \mathcal{F}(\mathbf{x}_l, \mathcal{W}_l), \quad (6)$$

Подставляя в (5), обратное распространение ошибки можно получить как:

$$\mathbf{x}_L = \left( \prod_{i=l}^{L-1} \lambda_i \right) \mathbf{x}_l + \sum_{i=l}^{L-1} \hat{\mathcal{F}}(\mathbf{x}_i, \mathcal{W}_i), \quad (7)$$

$$\frac{\partial \mathcal{E}}{\partial \mathbf{x}_l} = \frac{\partial \mathcal{E}}{\partial \mathbf{x}_L} \left( \left( \prod_{i=l}^{L-1} \lambda_i \right) + \frac{\partial}{\partial \mathbf{x}_l} \sum_{i=l}^{L-1} \hat{\mathcal{F}}(\mathbf{x}_i, \mathcal{W}_i) \right). \quad (8)$$

С помощью формулы (8) мы можем видеть, как, когда коэффициент больше 1 или меньше 1, будет вызвана проблема взрыва или исчезновения градиента, поэтому сразу 1 является лучшим, а именно (5). На основе данных они также объясняют, почему прямое картирование является лучшим, следующим образом:



Из приведенного выше рисунка видно, что если вес увеличен, а положение пакетной нормализации другое, правильность другая. Они выступают за то, чтобы упорядочить сравнение перед ReLU, но даже это все еще имеет коэффициент ошибок 4,9 %, а значение веса A, равное 1, соответствует 3,57 %.



## Развертывание конструкции:

layer name	output size	18-layer	34-layer	50-layer	101-layer	152-layer
conv1	112×112	7×7, 64, stride 2				
		3×3 max pool, stride 2				
conv2_x	56×56	$\begin{bmatrix} 3 \times 3, 64 \\ 3 \times 3, 64 \end{bmatrix} \times 2$	$\begin{bmatrix} 3 \times 3, 64 \\ 3 \times 3, 64 \end{bmatrix} \times 3$	$\begin{bmatrix} 1 \times 1, 64 \\ 3 \times 3, 64 \\ 1 \times 1, 256 \end{bmatrix} \times 3$	$\begin{bmatrix} 1 \times 1, 64 \\ 3 \times 3, 64 \\ 1 \times 1, 256 \end{bmatrix} \times 3$	$\begin{bmatrix} 1 \times 1, 64 \\ 3 \times 3, 64 \\ 1 \times 1, 256 \end{bmatrix} \times 3$
conv3_x	28×28	$\begin{bmatrix} 3 \times 3, 128 \\ 3 \times 3, 128 \end{bmatrix} \times 2$	$\begin{bmatrix} 3 \times 3, 128 \\ 3 \times 3, 128 \end{bmatrix} \times 4$	$\begin{bmatrix} 1 \times 1, 128 \\ 3 \times 3, 128 \\ 1 \times 1, 512 \end{bmatrix} \times 4$	$\begin{bmatrix} 1 \times 1, 128 \\ 3 \times 3, 128 \\ 1 \times 1, 512 \end{bmatrix} \times 4$	$\begin{bmatrix} 1 \times 1, 128 \\ 3 \times 3, 128 \\ 1 \times 1, 512 \end{bmatrix} \times 8$
conv4_x	14×14	$\begin{bmatrix} 3 \times 3, 256 \\ 3 \times 3, 256 \end{bmatrix} \times 2$	$\begin{bmatrix} 3 \times 3, 256 \\ 3 \times 3, 256 \end{bmatrix} \times 6$	$\begin{bmatrix} 1 \times 1, 256 \\ 3 \times 3, 256 \\ 1 \times 1, 1024 \end{bmatrix} \times 6$	$\begin{bmatrix} 1 \times 1, 256 \\ 3 \times 3, 256 \\ 1 \times 1, 1024 \end{bmatrix} \times 23$	$\begin{bmatrix} 1 \times 1, 256 \\ 3 \times 3, 256 \\ 1 \times 1, 1024 \end{bmatrix} \times 36$
conv5_x	7×7	$\begin{bmatrix} 3 \times 3, 512 \\ 3 \times 3, 512 \end{bmatrix} \times 2$	$\begin{bmatrix} 3 \times 3, 512 \\ 3 \times 3, 512 \end{bmatrix} \times 3$	$\begin{bmatrix} 1 \times 1, 512 \\ 3 \times 3, 512 \\ 1 \times 1, 2048 \end{bmatrix} \times 3$	$\begin{bmatrix} 1 \times 1, 512 \\ 3 \times 3, 512 \\ 1 \times 1, 2048 \end{bmatrix} \times 3$	$\begin{bmatrix} 1 \times 1, 512 \\ 3 \times 3, 512 \\ 1 \times 1, 2048 \end{bmatrix} \times 3$
	1×1	average pool, 1000-d fc, softmax				
FLOPs		$1.8 \times 10^9$	$3.6 \times 10^9$	$3.8 \times 10^9$	$7.6 \times 10^9$	$11.3 \times 10^9$

Table 1. Architectures for ImageNet. Building blocks are shown in brackets (see also Fig. 5), with the numbers of blocks stacked. Down-sampling is performed by conv3\_1, conv4\_1, and conv5\_1 with a stride of 2.

Первая строка представляет разные слои, а именно 18 слоев, 34 слоя, 50 слоев, 101 слой и 152 слоя структур RESNET. Как рассчитать количество слоев? Здесь для примера возьмем 152 этажа, скоростные дороги здесь все три этажа, глубина слишком глубокая, а количество слоев слишком мало, а объем расчета слишком большой. Возьмем, к примеру, 152 слоя. Количество расчетных слоев:  $(3 + 8 + 36 + 3) \times 3 = 150$ , плюс два полносвязных слоя — это 152 слоя

Почему на скоростных автомагистралях всего два этажа? Можно ли иметь четыре слоя, в чем разница между большим количеством слоев. сравнить результаты. Или может ли шоссе продолжать распространяться перекрестно. Мы можем сделать это сами через код.

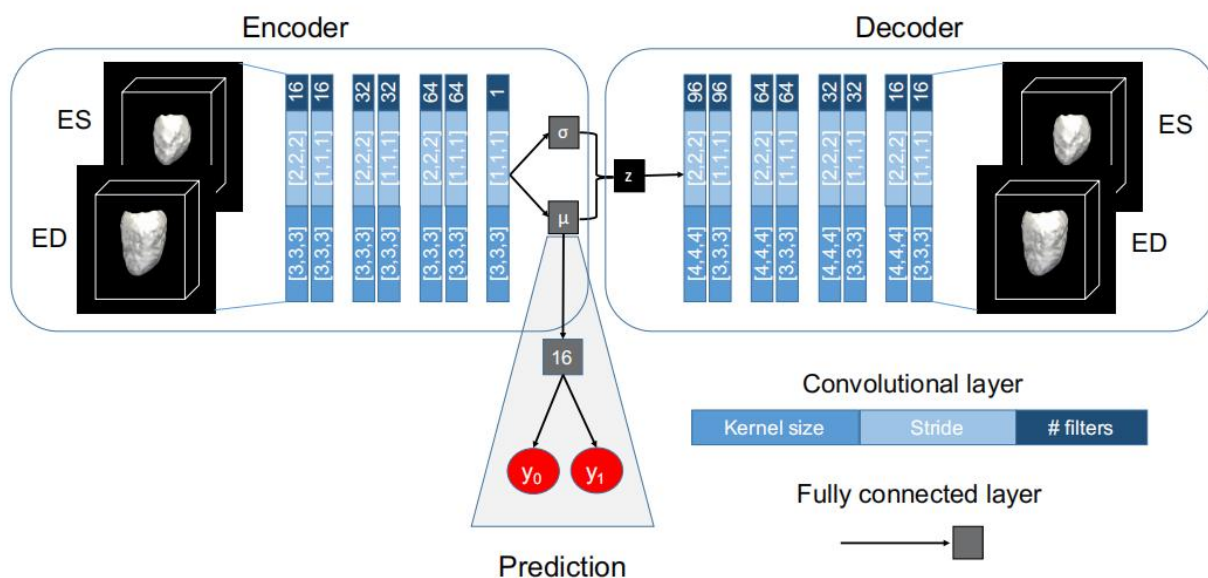
## Статья 2

### Анализ модели

Принципиальная схема модели, предложенной в данной статье, представлена на рис. 1. Вход  $X$  представляет собой 3D-сегментацию миокарда левого желудочка (3D-сегментацию миокарда левого желудочка) в конечно-диастолическом (ED) и конечно-систолическом (ES) сегментах с двухканальным входом. Используя трехмерный сверточный VAE,  $d$ -мерное распределение вероятностей, представляющее входной сегмент  $X$  в скрытом пространстве, изучается через сеть кодера, а скрытое распределение параметризуется как  $d$ -мерное нормальное распределение  $N(\mu_i, \sigma_i)$ , где  $\mu_i$  представляет собой среднее значение,  $\sigma_i$  — стандартное отклонение. Во время обучения сеть декодера учится восстанавливать аппроксимацию входных данных  $X$  путем выборки вектора  $z$  из изученного скрытого  $d$ -многообразия. Между тем, дискриминационная сеть, состоящая из многослойных персептронов (MLP) (называемая в этой статье предсказанием сети предсказания), связана со средним вектором  $\mu$  и обучена отличать здоровых добровольцев (HVols) от гипертрофических субъектов с гипертрофической кардиомиопатией (HCM). Сквозное обучение с использованием следующей функции потерь:

где  $L_{\text{res}}$  представляет потери при реконструкции, которые можно рассчитать, введя потери в кости Соренсена между  $X$  и реконструкцией.  $L_{\text{KL}}$  — это потеря расхождения Кульбака-Лейблера, цель которой — максимально приблизить  $N(\mu, \sigma)$  к его предыдущему распределению  $N(0, 1)$ .  $L_{\text{MLP}}$  — кросс-энтропийная потеря для задачи классификации MLP. Размер скрытого пространства  $d=64$ .

На этапе тестирования каждый входной сегмент восстанавливается путем передачи предсказанного  $\mu$  в  $z$  (без выборки из скрытого пространства), и, наконец, задача классификации выполняется на этапе обучения.



Архитектура модели, предложенная в этой статье, позволяет визуализировать особенности, изученные сетью, в исходном пространстве сегментации. Используя веса, полученные MLP, частная производная метки классификации болезни  $C(y_C)$  вычисляется путем обратного распространения градиента от метки классификации  $C$  к  $\mu_i$  с использованием цепного правила. Учитывая случайно выбранную форму здоровой ткани, полученные градиенты можно использовать для сдвига латентного представления субъекта в

направлении лежащей в основе закодированной вариабельности с использованием итеративного алгоритма для максимизации вероятности отнесения этой вариабельности к классу C. Начиная со среднего скрытого представления здоровой формы,  $\mu_i$  итеративно обновляется на каждом шаге t с использованием:

$$\mu_{i,t} = \mu_{i,t-1} + \lambda \frac{\partial y_1}{\partial \mu_{i,t-1}}, \quad \forall i = 1, \dots, d \quad (1)$$

В этой статье выбрано значение  $\lambda=0.1$ . Наконец, каждое скрытое представление  $\mu_t$  на каждом шаге t может быть декодировано путем передачи его в z для получения сегментированного пространства, позволяющего визуализировать соответствующий реконструированный сегмент.

## Практический этап

Подробности смотрите во вложении, здесь показаны только некоторые результаты.

Поэкспериментируйте с обученной моделью

Четыре обучающие модели

MODEL\_NAME = 'mobilenetv2\_coco\_voctrainaug'

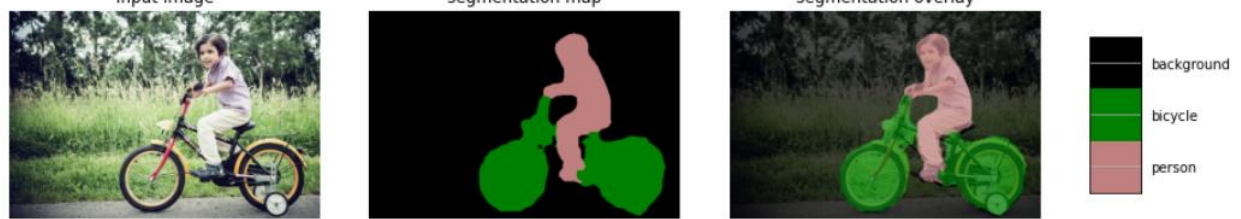
MODEL\_NAME = 'mobilenetv2\_coco\_voctrainval'

MODEL\_NAME = 'xception\_coco\_voctrainaug'

MODEL\_NAME = 'xception\_coco\_voctrainval'



➞ running deeplab on image <https://github.com/tensorflow/models/blob/master/research/deeplab/g3doc/img/image1.jpg?raw=true...>



➞ running deeplab on image <https://github.com/tensorflow/models/blob/master/research/deeplab/g3doc/img/image2.jpg?raw=true...>



running deeplab on image <https://github.com/tensorflow/models/blob/master/research/deeplab/g3doc/img/image3.jpg?raw=true...>

